

## (討2) 還元過程における焼結鉱の性状変化について

富士製鉄 広畠製鉄所

○工博 神原健二郎

萩原友郎 藤田慶喜

- 緒言。焼結鉱が高炉内で還元されるときに示す性状の変化は  $1000^{\circ}\text{C}$  以下のところに於ける所謂還元粉化現象と、それ以上の温度での軟化溶融現象とに大別される。いずれも高炉操業に於て重要な性状であるが、後者についてはまだ不明な点が多い。これに対して還元粉化現象については既に多くの検討が加えられ、その状況ならびに原因も概ね明らかにされていきるので、ここでは  $1000^{\circ}\text{C}$  以下の温度における還元粉化現象について諸検討結果をまとめてともに向発表と対策についてのべる。<sup>1)~5)</sup>
- 焼結鉱の還元粉化性とその試験法。焼結鉱をガス還元すると、特に  $400\sim600^{\circ}\text{C}$  の温度で巣状を生じて崩壊する。この現象は  $\text{H}_2$  で還元した時より  $\text{CO}$  で還元した方が著しく、還元時間は長いほど激しい。また荷重をかけ、あるいは回転しつゝ還元すると一層粉化は増す。しかし  $700^{\circ}\text{C}$  以上で還元すると還元生成物の焼結によって巣状が消滅し、崩壊はかえつて減少する。この性質は天然鉱石でも見られるが熱割れ性を別にして考えると焼結鉱ほど著しくなく、ベレットでは通常巣状は生ずるが崩壊はない。したがって焼結鉱に特有な性質と考えられて、その原因、機構が調査され、また還元中の強度を示す指標として、高炉装入物の品質管理や焼結工場の操業管理に採用されるようになった。

還元粉化性の試験法には種々あるが大別すると5種類ほどのになる。1)は少量の試料を管状炉内で  $400\sim600^{\circ}\text{C}$  の一定温度で静止還元し、還元による粒度変化その他を測定するもので、粉化機構の検討等には適しているが、現場管理的な目的のためには試料のバラツキが問題となる。2)は  $300\sim500\text{g}$  の試料で摩振塊状還元試験機等により  $400\sim600^{\circ}\text{C}$  で定温静止還元し、還元後の粒度、あるいは回転强度を測定するもので、前記の欠点は防かれ、還元後回転强度を測定する方法では還元処理の短時間による性状差を検出できるので、多段の測定を必要とする現場管理的目的には適した方法である。しかし塩基度によつては他の昇温式試験法と異なる結果を生ずることもあるので、塩基度変化や原料種類の影響等の調査に使用することは注意を要する。(Fig.4, 7参照) 3)は(2)と(4)の中間の方法で室温から  $500\sim900^{\circ}\text{C}$  まで昇温しつゝ静止還元し、還元後強度を測るものである。 $700^{\circ}\text{C}$  以上にまで昇温すると還元生成物の焼結により一度生じた巣状が消滅して強度が回復するゆえ還元終温温度の選定が大切である。4)は室温より  $600^{\circ}\text{C}$  へ  $1000^{\circ}\text{C}$  までの昇温しつゝ回転還元を行ない、還元後の粒度を測定するもので、巣状の消滅による強度回復の点は多く、各温度での粉化の合計量を知りうるが、粉化の点、3)温度を知り得ないのが欠点である。5)は荷重下で室温から  $1100\sim1200^{\circ}\text{C}$  までの昇温しつゝ還元し、収縮率およびガス圧の変化から粉化を判定するもので、還元粉化のみならず軟化状態まで試験できること、粉化かいずれの温度におけるかわがること、高炉内の状況に近い条件で試験できること等の利点をもつて、粉化量の定量測定には難点があり、また(1)(2)等にくらべ装置、操作が複雑になるので現場管理的目的には使用しにくいのが欠点である。なお空気としては  $\text{CO}30\%$ ,  $\text{N}_270\%$ 、あるいは  $\text{CO}100\%$  のガスを用いるものが多いが、 $400\sim600^{\circ}\text{C}$  では炭素析出とともに発熱で温度制御が困難になつたり、析出炭素が粉化層の判定をやりにくくなつたりするが、 $\text{CO}_2$  を加えて高炉シカフト上部のガス組成に近づけたものではこの点が少く、実験が容易に行なえる。<sup>5)</sup>

- 焼結鉱の物理性、化学性と還元粉化性との関係。物理性中常温強度指数として一般的である落下強度と還元粉化性との関係は塩基度との関連であり、これは上段の恒温基度は別にして大体塩基度が高まれば両者ともよくなり相関がある(Fig.3等)が、現場操業のように狭い塩基度の範囲内では関係が認められる(Fig.1)。焼結層上下の比較等特殊の場合には逆の関係を示すことがある(Fig.8)。落下強度のみ

から還元粉化性を推定することはできない。気孔率はそれが落下強度と密接な関係をもつことから、還元粉化性に対しても落下強度と似た関係を示す。<sup>3)</sup>しかし気孔の少ない溶融部が多い焼結部にくらべ還元粉化性が少い<sup>11)</sup>といふ事実から、塩基度の如何によらず還元粉化性と関連があるといえよう。

化学成分中還元粉化性と関係が認められているのは、 $\text{FeO}$ と造塊成分の  $\text{SiO}_2$ ,  $\text{CaO}$ ,  $\text{Al}_2\text{O}_3$ ,  $\text{MgO}$  である。 $\text{FeO}$ も、造塊成分も多いほど粉化量は減少するか、これらを単独でみるとより  $\text{FeO} + \text{SiO}_2 + \text{CaO} + \text{Al}_2\text{O}_3 + \text{MgO}$  のような合計量としてみた方が明白な関係を示すことが多い(Fig.1)。しかし後述するように原料性状の影響が非常に大きいため、単一化学成分との関係をみるとより直相関を示すことがある。

4. 他の還元性状との関係  $\text{FeO} + \text{SiO}_2 + \text{CaO}$  量の増加はヘマタイトの減少、マグネサイト、カルシウムフェライトの增加を示すばかり、この増加する二者はヘマタイトにくらべ被還元性、くらべて低温度でのそれが高まる<sup>12)</sup>。400~600°Cにおける被還元性と還元粉化性の間には関係がある<sup>13)</sup>といわれると、900°Cでの被還元性では必ずしも関係は認められない。(Fig.1)しかし900°C還元後の強度は還元生成物の焼結により巣状へ回復しているとはいえ、やはり還元途中の影響が残っているためか、還元粉化性とある程度相関が認められる。(Fig.1, 6, 7)

5. 鉱物組成との関係 還元粉化の素因となるものは還元初期に発生する微細な巣状で、これが還元進行とともに生長するか、還元の進んだある時期からは組織とほとんど無関係に多くの大きな巣状が生じて崩壊に至る<sup>14)</sup>とされている。この初期のフランクはマグネサイトのほかのあらわしの巣状のヒビにも生ずるが、主としてヘマタイト粒子に生じ、ヘマタイトがマグネサイトに還元されるまでの差の原因であり、熱履歴によって生じた不安定なヘマタイトでは特に著しい<sup>15)</sup>といわれる。<sup>16)</sup>したがってヘマタイトの量が大きく影響し、X線回折で求めた  $\alpha-\text{Fe}_2\text{O}_3$  の量と還元粉化性の間には関連がある<sup>17)</sup>。これに対して二元系カルシウムフェライトと単形マグネサイトの共存する組織や、三元系カルシウムフェライトが融密に発達した組織では巣状の発生は少く、カルシウムフェライトや安定なマグネサイトは粉化に関係がないようである。<sup>18)</sup>しかしペレットの場合にはほとんど全部ヘマタイトからなり還元によりやはり巣状も生ずるにちがかないが、巣状をもつことなく崩壊しないことを考えると、還元粉化の原因がまた他にもあると考えるべきである。焼結鉱の鉱物組成中前記以外のものといえば、非晶質および結晶質のスラグがあり、ペレットがヘマタイト結合を主体とするのに対し、石灰焼結鉱はスラグ結合であること、非晶質スラグは熱履歴や結晶晶出のために巣状をもつことなどが考えると、還元粉化の素因は酸化鉄の還元によつて生じた差であるか、それのみでは破壊に至らぬ、それがスラグ部のもつ巣状加熱によってはじめて多くの巣状を生じ崩壊に至るのではないかと考えられる。

6. 原料鉱石の影響 磁鐵鉱を原料とした焼結鉱は赤鉄鉱を原料としたものより還元粉化が少く、原鉱中の  $\text{FeO}$  の効果が大きい<sup>19)</sup>といわれると、 $\text{FeO}$ だけではなく脈石成分の影響も考えに入れると要である。Fig.3は磁鐵鉱のアカリ、サンタバーバラと、赤鉄鉱のジヨラクも各々原料とした焼結鉱の塩基度による性状変化<sup>20)</sup>であるが、落下強度と還元粉化性の  $\text{min.}$  による塩基度は一致している。アカリ、ジヨラクでは非晶質スラグが増し、巣状多いため強度の低下するとしてよく知られており、1.2附近である。サンタバーバラでは1.8附近であるが、これはけ易い  $\text{Mg}$  硅酸塩系脈石を多く含むため、Photoのようにカルシウムフェライトの晶出がみられ塩基度1.9以上よりやく非晶質スラグ中にカルシウムフェライトの晶出があつていいためである。したがって400~600°Cでの還元粉化性はヘマタイトの量のほかに常温強度におけると同様にスラグ部の巣の影響と、原料鉱石中の脈石性質の影響をもつとされる。さらにFig.4は  $\text{Mg}$  硅酸塩系脈石をセツワブスカヒアルミナ系脈石もつコアドを多く配合した場合の比較であるが、550°C還元後強度と昇温回転還元強度の傾向がコアドでは一致するのにワブスカヒアルミナは一致しない。Fig.7でも同じく不一致が認められ、塩基度が高い場合は原料によつては600°Cまでの還元粉化性と、そ

れ以上の温度における粉化性に相違があるものと考えられ、今后更に検討を要する問題である。

7) 高炉操業における影響 焼結鉱が高炉内で400~600°Cの温度にさらされる時間は比較的短いことから、低温での還元粉化性そのものが高炉操業にどの程度影響するかは議論の生ずることであるが、少なくとも1~1.5程度の塩基度範囲内では還元過程における性状の代表指標としてこれをとる場合、高炉操業上の指標として十分な役目を果すようである。Fig.2は1941年5月から42年5月までの間の灰分1,2,3高炉で使用した焼結鉱の低温還元粉化性、ならびに配合率と、高炉の1日あたり棚吊回数の関係で、棚吊を1回1回以下に抑えられた場合には図中の実線より右の条件が必要である。すなわち焼結鉱の配合割合が少ないと、粉化の多い低強度の焼結鉱を用いるか、配合割合が多いときは品質のよい粉化しない焼結鉱を用意することがわかる。

#### 8. 還元粉化性の改善对策

1) 燃料添加量の増加<sup>1)</sup> 焼結層が粘着して通気不良にならないかぎり、燃料添加量の増加は  $FeO$  を増し、ペマタイトを減じて粉化性を改善する。(Fig.5) しかしこの場合生産性は抑制されるを得ない。

2) 造渣成分の増加 造渣成分量を多くすると粉化し易くなるから、磁石分の少ない鉱石に注目し、川砂、磁砂等の  $SiO_2$  源、あるいは高炉滓、転炉滓、ベントナイト、ドロマイト等の添加が行われている。Fig.6は塩基度を一定に保ちながら磁石粉を加えて例である。

3) 塩基度の増加 造渣成分量増加のもう一つの方法は  $CaO$  量増すから塩基度の増加である。Fig.7はDL焼結棊の原料をガス不燃コーカス添加量もほぼ一定のまま塩基度をえた例であるが、550°C還元後強度は塩基度増加とともに向上し、1000°Cまでの昇温回転還元強度も塩基度1.8附近で低下するか又は上昇する高くなる。

4) 燃結風量の適正化 燃結層通過風量が多量になると生産は高まるが鉱石粒が十分な温度にさらされず時間が短くなるため、ペスタイト増すカルシウムエライト城をもたらす、常温強度、還元粉化性とも改善される。  
したがって生産のみ重視せねばならない品質を維持するように通過風量を適正化すべきである。

5) 過度の偏析混入の防止 燃結層の上下での品質相違が認められる。<sup>4)</sup> Fig.8もその例であるが、この原因は磁鉄物には比較的粒度の細かいものが多いため上層で、赤鉄鉱は酸性鉄下等の粒度が粗いものの中下層へ偏析するためと考えられる。このため中下層では常温強度が高くなるががむらで還元粉化性は劣るものである。粗大な赤鉄鉱の多いときは過度の偏析を避けた方がよろしく思われる。

9. 結言 以上焼結鉱の還元過程における性状変化と還元粉化性について検討結果をまとめた。低温域での還元粉化現象は依然未解明であり、主要な対策も立てられて、すでに理清管理上の指標として使用されているとは理解できるが、原料鉱石の影響、比較的高い塩基度における温度と還元、七十年の問題等の問題が残っている。更に検討を要するべきものと考えられる。

#### 参考文献

1. 焼結鉱の還元時(特に低温域)における挙動、鉄と鋼、52(1966), P.488~504
2. 安藤、佐藤、植谷：鉄と鋼、52(1966), P.1358~1361
3. 桐山、加藤、近： “” 52(1966), P.1361~1364
4. 山越、飯田、田中、篠原：“” 53(1967), P.5211
5. 伊藤、大治：“” 53(1967), P.517
6. 神原、藤田、沖川：“” 53(1967), P.5212
7. 城本、萩原、吉川：富士技報16(1967), P.1~6

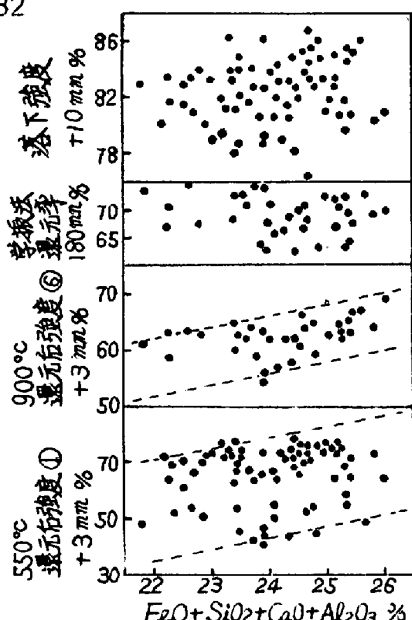


Fig.1 化学成分と品質の関係

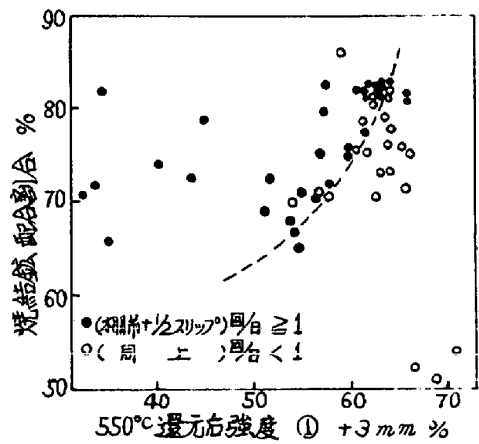


Fig. 2 粉化性、配合割合と高炉炉況

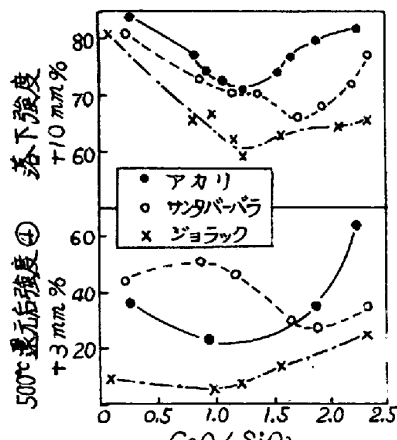


Fig. 3 原料鉱石の影響 (1)

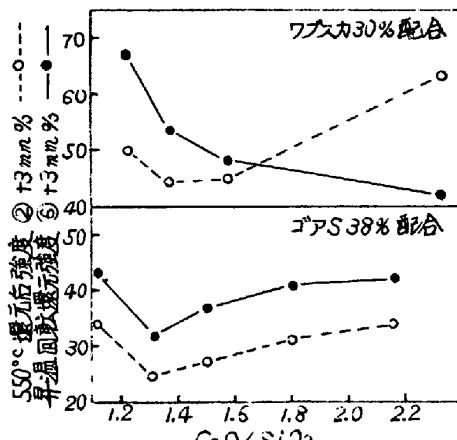


Fig. 4 原料鉱石の影響 (2)

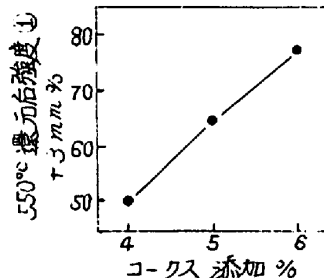


Fig. 5 燃料添加量の影響

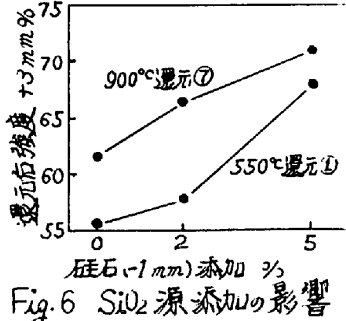
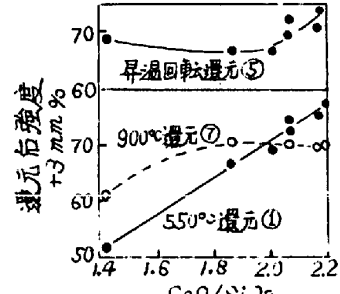


Fig. 6 SiO2 源添加の影響

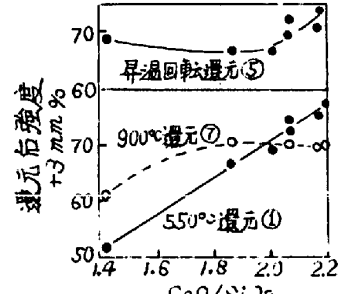


Fig. 7 燃基度による粉化性の相異

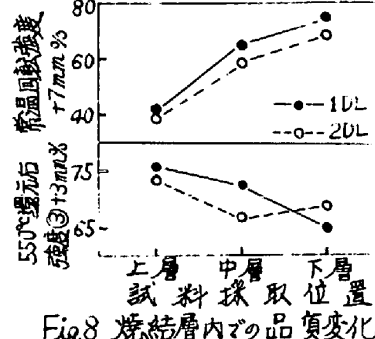


Fig. 8 煙結層内での品質変化

焼結条件	
Fig. 1	D L S41.5 ~ S42.5
3	30K錫 石灰添加單味、コークス (アカリ, ジョラック 5%, サンタバーパラ 4%)
4	" 鋼鐵30, 赤鉄21~29, のり11+(ゴア, リスカ) コークス 4.5%
5	" 石灰鉄25, 赤鉄 75, コークス 4, 5, 6 % CaO/SiO2 1.4
6	" 鋼鐵38, 赤鉄 51, のり11 コークス 4% CaO/SiO2 1.4
7	D L S42.11 コークス 3.3 ~ 3.4 %
8	" S42.7 コークス 3.3 %

還元粉化試験条件	
1	CO26, CO24, N260, 550°C 30mn 還元後 130×200 箱根付ドラム
2	30%N 30mn 回転、試料 ① 20±1, ② 1.5~2.1, ③ 1.5~1 mm, 500g
3	" 1.5~1 mm, 500g
4	CO30, N270, 500°C 3h 還元後 100×130# F22型ドラム 20%N 30mn 回転、試料 20±1 mm 500g
5	CO30, N270, 室温 → 700°C 2h; 700 → 1000°C 3h, 130×200パレル
6	30%N 試料 ④ 20±1, ⑥ 15~20 mm 500g
7	浮遊法 均一還元後 700×130# F22型ドラム 1.5~1 mm 回転



Photo. 1 CaO/SiO2 1.2



Photo. 2 CaO/SiO2 1.9

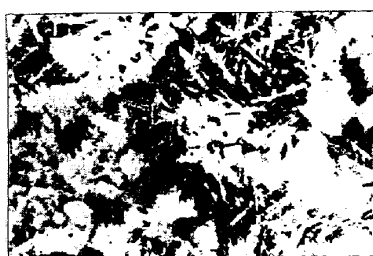


Photo. 3 CaO/SiO2 2.2

サンタバーパラ 焼結鉱々頭微鏡組織